

- кольцевых образцов // Пластическая деформация легких и специальных сплавов.— М.: Металлургия, 1978.
4. Больщаков А. П., Новиков С. А., Синицын В. А. Исследование динамических диаграмм одноосного растяжения и сжатия меди и сплава АМгб // Пробл. прочности.— 1979.— № 10.
 5. Попов Н. Н., Иванов А. Г. и др. Получение полных диаграмм одноосного растяжения сплавов АМгб и МА18 при скоростях деформации $10^{-3} \dots 10^3 \text{ с}^{-1}$ // Пробл. прочности.— 1981.— № 12.
 6. Степанов Г. В., Астанин В. В. и др. Механические свойства высокопрочного алюминиевого сплава при ударном нагружении // Пробл. прочности.— 1983.— № 2.
 7. Тарасов Б. А. О количественном описании откольных повреждений // ПМТФ.— 1973.— № 6.
 8. Тарасов Б. А. Сопротивление разрушению пластин при ударном нагружении // Пробл. прочности.— 1974.— № 3.
 9. Батьков Ю. В., Новиков С. А. и др. Влияние температуры образца на величину разрушающих напряжений при отколе в алюминиевом сплаве АМгб // ПМТФ.— 1979.— № 3.
 10. Голубев В. К., Новиков С. А. и др. О характере откольного разрушения алюминия и его сплавов Д16 и АМгб в температурном диапазоне — 196 ... 600°C // Пробл. прочности.— 1983.— № 2.
 11. Канель Г. И., Разоренов С. В., Фортов В. Е. Кинетика разрушения алюминиевого сплава АМгбМ в условиях откола // ПМТФ.— 1984.— № 5.
 12. Абашкин Б. И., Забиров И. Х. и др. Об одном способе исследования свойств материала при динамическом растяжении // ПМТФ.— 1977.— № 4.
 13. Голубев В. К., Новиков С. А. и др. О влиянии угла выхода ударной волны на свободную поверхность на образование откола в металлах // ПМТФ.— 1983.— № 3.
 14. Butcher B. M. Spallation in 6061-T6 aluminum // Behaviour of Dense Media Under High Dynamic Pressures.— N. Y.: Gordon and Breach, 1968.
 15. Blinow D. W., Keller D. Y. Experiments on the mechanism of spall // Dynamic Behaviour of Materials.— Philadelphia: ASTM, 1963.
 16. Rosenberg Z., Luttwak G. et al. Spall studies of differently treated 2024 Al specimens // J. Appl. Phys.— 1983.— V. 54, N 5.
 17. Barbee T. W., Seaman L. et al. Dynamic fracture criteria for ductile and brittle metals // J. Materials.— 1972.— V. 7, N 3.
 18. Романченко В. И., Марусий О. И., Крамаренко И. В. Микроструктура алюминиевого сплава на ранних стадиях откола // Пробл. прочности.— 1983.— № 9.

Поступила 26/I 1987 г.

УДК 539.4+620.18

ИССЛЕДОВАНИЕ НАКОПЛЕНИЯ МИКРОПОВРЕЖДЕНИЙ ПРИ ОТКОЛЕ В ТИТАНОВОМ СПЛАВЕ ВТ14

C. A. Новиков, Ю. С. Соболев, Н. А. Юкина

(Москва)

При описании откола, т. е. разрушения материала при интенсивном ударно-волновом нагружении, в последнее время применяется концепция накопления повреждений, учитывающая изменение микроструктуры материала в процессе деформирования в области взаимодействия волны разрушения. Выделяются две основные стадии откола: появление и рост зародышевых трещин; слияние микротрещин [1—3]. В первой, докритической, стадии откольного разрушения материал с достаточной точностью можно рассматривать как сплошной. Начальные микродефекты возникают в локально перенапряженных зонах, их размеры $10^{-8}—10^{-7}$ м [4, 5]. Достижение предельного числа микродефектов в единице объема приводит к разрушению микрообъема и образованию дефектов с характерными размерами $10^{-6}—10^{-4}$ м, что определяет начало второй, закритической, стадии откольного разрушения. На первой стадии рост дефектов имеет термоактивационную природу [1]. Можно предполагать, что во второй стадии разрушения распространение и взаимодействие микротрещин будет описываться законами механики разрушения. Изучение микротрещилей образцов с помощью оптического микроскопа, сохраненных после ударно-волнового нагружения, позволяет надежно выявить дефекты (поры, трещины) размерами не менее 10^{-6} м. Количественный анализ их распределения при различных уровнях растягивающих напряжений в области откола позволяет получить информацию обо всей второй стадии разрушения, вплотную приблизившись к ее границе с докритической стадией.

В настоящей работе приведены результаты количественных оценок степени повреждаемости образцов из титанового сплава ВТ14 при отколе. Исследуемые образцы изготавливались из прутка диаметром 50 мм, предварительно подвергнутого отжигу при температуре 750°C в течение 60 мин

с охлаждением на воздухе. После отжига сплав ВТ14 имел следующие механические характеристики: временное сопротивление $\sigma_v = 100$ кг/мм², относительное удлинение $\delta_5 = 8,5\%$, относительное сужение $\psi = 42,5\%$, ударная вязкость $a_n = 8,4$ кг·см/см². Микроструктура сплава характеризуется равноосной структурой $\alpha + \beta$, имеющей два характерных признака: крупные полиэдрические зерна превращенной β -фазы и пластинчатый характер внутризеренной структуры. Основные размеры образцов показаны на рис. 1.

Нагружение производилось ударом пластиинки из алюминиевого сплава АМц толщиной 4 мм, разгоняемой детонацией тонких слоев ВВ. Характерное время нагружения составляло $1,3 \cdot 10^{-6}$ с (время циркуляции упругой волны в ударнике). Геометрия системы ударник — образец была выбрана таким образом, что волна упругой разгрузки не догоняла фронт ударной волны в образце, поэтому давление за фронтом ударной волны, выходящей на свободную поверхность образца, совпадало с давлением на поверхности соударения. Опыты проводились при температуре 10°C. Сечения разрезанных вдоль оси образцов после шлифования, полирования и химического травления в реактиве (плавиковая кислота 2,5 мл, азотная кислота 7,5 мл, вода 15 мл) подвергались микроанализу с использованием металлографического микроскопа МИМ-8М при увеличении до $\times 1000$. Для исключения влияния боковой разгрузки исследовалась центральная часть образцов в зоне диаметром 30 мм. Для удобства подсчета дефектов рабочая часть сечений разделена на 24 прямоугольные зоны, как показано на рис. 1. Оценки давления в нагружающем импульсе сжатия проводились с использованием известных ударных адиабат титана и алюминия, при этом считалось, что в акустическом приближении растягивающие напряжения в зоне откола по абсолютной величине равнялись давлению в волне сжатия. В опытах при увеличении слоя взрывчатого вещества проводилось последовательное повышение давления в нагружающем импульсе и соответственно увеличение растягивающих напряжений. Общая качественная характеристика степени повреждаемости образцов в интервале нагружающих давлений 3,9—4,9 ГПа представлена в таблице.

Давление, при котором в рабочем сечении образца не обнаружено видимых при увеличении $\times 1000$ микроповреждений, составляет 3,9 ГПа. Образование микроотколов (слияние нескольких трещин) происходит при давлении 4,9 ГПа. Зарождение разрушений идет в основном в виде микротрещин вблизи границ превращенной β -фазы по ее выделениям (рис. 2, а). Образуются и поры (рис. 2, б), но их вклад в общую картину разрушения невелик. Существенным для сплава ВТ14 является то, что при последова-

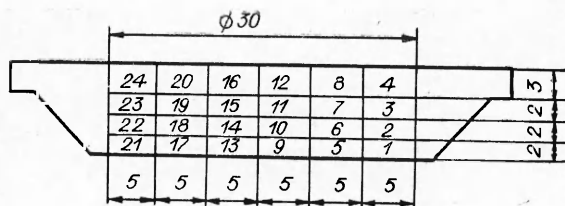


Рис. 1

Номер опыта	p , ГПа	Степень повреждаемости образцов в исследуемом сечении
1	3,9	Отсутствие повреждений
2	4,0	Единичная микротрещина
3	4,26	Несколько единичных микротрещин
4	4,33	Слабое микроповреждение в локальных зонах
5	4,45	Умеренное микроразрушение в локальных зонах
6	4,7	Интенсивное микроразрушение в локальных зонах
7	4,9	Интенсивное микроразрушение по всей зоне откола

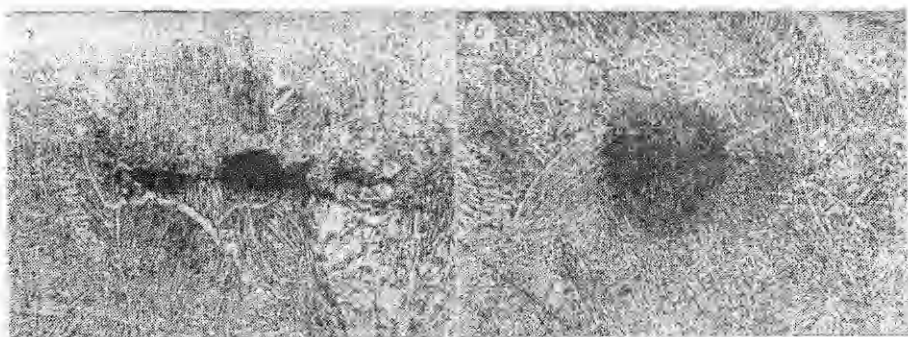


Рис. 2

тельном увеличении давления в ударной волне в исследованном диапазоне рост числа образующихся микротрещин весьма невелик. За критерий степени повреждаемости поэтому была выбрана суммарная длина микротрещин в сечении исследуемого образца. На основании полученных результатов для каждого из образцов (см. таблицу) построены гистограммы распределения суммарной протяженности трещин Σl в зависимости от расстояния x от нагружаемой поверхности и по диаметру образца.

Типичные гистограммы (опыты 2, 6, 7), характеризующие изменение Σl по толщине образца при увеличении давления, приведены на рис. 3. На рис. 4 показана зависимость суммарной протяженности трещин в зоне откола (находящейся, как следует из рис. 3, на расстоянии 5–7 мм от нагружаемой поверхности) от растягивающих напряжений. Обращает на себя внимание то, что до напряжения $\sim 4,5$ ГПа практически не увеличивается значение Σl , а при дальнейшем росте напряжения оно резко повышается. Полученная зависимость говорит в пользу предположения, что на второй стадии развитие откольного разрушения происходит в соответствии с положениями линейной механики разрушения (ЛМР). Действительно, по ЛМР, существующая в хрупком материале трещина начинает быстро распространяться при достижении некоторого критического напряжения у устья трещины, определяющего критический коэффициент интенсивности напряжения, который является параметром данного материала.

В случае откола, процесс, безусловно, сложнее: имеет место не одна, а целая серия трещин, ориентированных перпендикулярно фронту ударной волны. Для полного описания процесса разрушения необходимо учитывать их взаимное влияние (экспериментально оно показано при исследовании взаимодействия высокоскоростных встречных трещин в оргстекле при динамическом нагружении [6]). Для ряда материалов, например свинца, в котором накопление повреждаемости в зоне откола происходит путем роста и слияния почти сферических пор [7], положения ЛМР не применимы.

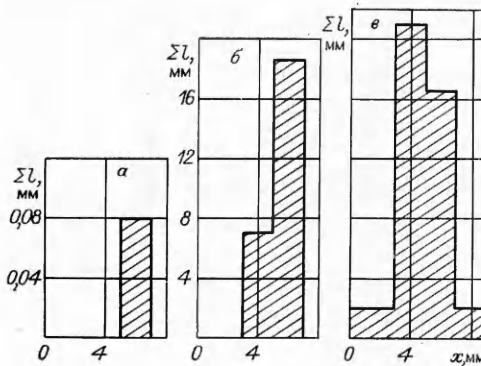


Рис. 3

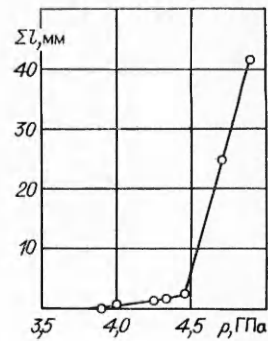


Рис. 4

Тем не менее обнаруженный в данной работе факт резкого увеличения степени повреждаемости в сплаве ВТ14 при достижении некоторого критического напряжения растяжения в зоне откола заслуживает внимания при описании феноменологической картины процесса откольного разрушения подобных конструкционных материалов.

ЛИТЕРАТУРА

1. Воловец Л. Д., Златин И. А., Пугачев Г. С. Возникновение и развитие субмикротрещин в полиметилметакрилате при динамическом растяжении (отколе) // Письма в ЖТФ. — 1978. — Т. 4, № 18.
2. Дремин А. Н., Молодец А. М. Кинетические характеристики откольного разрушения // ПМТФ. — 1980. — № 6.
3. Молодец А. М., Дремин А. Н. Две стадии процесса откольного разрушения // ДАН СССР. — 1979. — Т. 249, № 6.
4. Регель В. Р., Слуцкер А. И., Томашевский Э. И. Кинетическая природа прочности твердых тел. — М.: Наука, 1975.
5. Тамуж В. Т., Куксенко В. С. Микромеханика разрушения полимерных материалов. — Рига: Зиннатне, 1978.
6. Еременко А. С., Новиков С. А., Погорелов А. И. Исследование распространения и взаимодействия быстрых трещин в органическом стекле // ПМТФ. — 1979. — № 4.
7. Голубев В. К., Новиков С. А. и др. Разрушение и вязкость свинца при отколе // ПМТФ. — 1982. — № 6.

Поступила 22/I 1987 г.

УДК 539.3

О НЕКОТОРЫХ ТОЧНЫХ РЕШЕНИЯХ В ТЕОРИИ ГИБКИХ ПЛАСТИН

И. В. Андрианов, Е. Г. Холод

(Днепропетровск)

Уравнения Бергера [1] допускают в ряде случаев точные решения [2]. Однако до последнего времени считалось, что они являются сугубо приближенными решениями уравнений Феppля — Кармана [3—6]. В настоящей работе показано, что для квадратной пластины при центрально-симметричном напряженно-деформированном состоянии решения уравнений Бергера совпадают с решениями уравнений Феppля — Кармана.

1. Уравнения изгиба прямоугольной ($0 \leq x_1 \leq a_1, 0 \leq x_2 \leq a_2$) пластины, полученные на основе «гипотезы Бергера» (пренебрежение влиянием второго инварианта тензора деформаций J_2 на напряженно-деформированное состояние системы), имеют вид [1]

$$(1.1) \quad \partial J_1 / \partial x_1 = 0, \quad \partial J_1 / \partial x_2 = 0;$$

$$(1.2) \quad D \nabla^2 \nabla^2 w - 12Dh^{-2} J_1 \nabla^2 w = q(x_1, x_2),$$

$$J_1 = \frac{1}{a_1 a_2} \int_0^{a_2} \int_0^{a_1} \left[\frac{\partial u_1}{\partial x_1} + \frac{\partial u_2}{\partial x_2} + \frac{1}{2} \left(\frac{\partial w}{\partial x_1} \right)^2 + \frac{1}{2} \left(\frac{\partial w}{\partial x_2} \right)^2 \right] dx_1 dx_2.$$

Здесь $J_1 = \varepsilon_{11} + \varepsilon_{22}$; $\nabla^2 = \partial^2 / \partial x_1^2 + \partial^2 / \partial x_2^2$; ε_{11} , ε_{22} и ε_{12} — деформации растяжения—сжатия и сдвига соответственно; u_1 , u_2 , w — перемещения точек срединной поверхности; $D = Eh^3 / [12(1 - v^2)]$; E , v — модуль Юнга и коэффициент Пуассона материала пластины; h — ее толщина.

Выпишем выражение для той части энергии деформации срединной поверхности пластины, которая зависит от второго инварианта тензора деформаций J_2 ($J_2 = \varepsilon_{11}\varepsilon_{22} - 0,25\varepsilon_{12}^2$):

$$(1.3) \quad \Pi = -D(1 - v) \int_0^{a_2} \int_0^{a_1} J_2 dx_1 dx_2 = -D(1 - v) \int_0^{a_2} \int_0^{a_1} \left[\left(\frac{\partial u_1}{\partial x_1} \frac{\partial u_2}{\partial x_2} - \right. \right.$$